

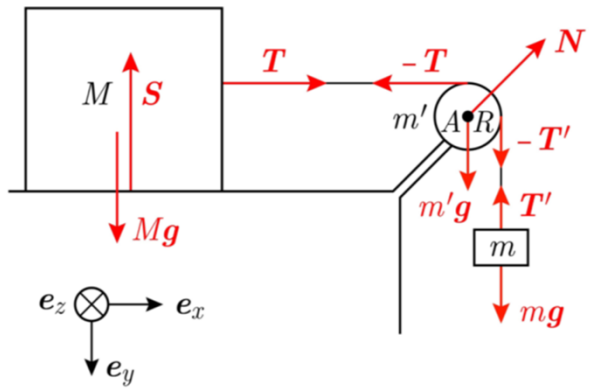
# Leçon 20 – 08/05/2025

## 6. Rotation en deux dimensions

- 6.4 Théorème du moment cinétique
- 6.5 Référentiel du centre de masse
- 6.6 Théorème de l'énergie cinétique d'un solide

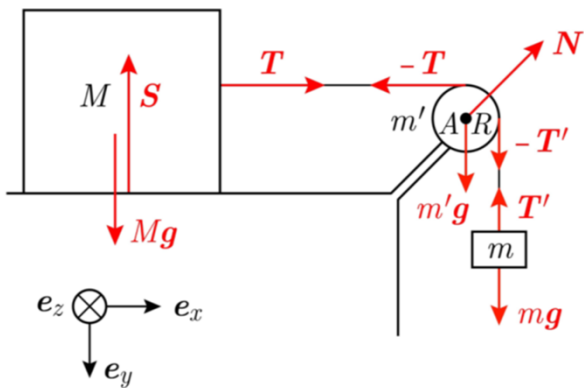
## 6.4.11 Glisseur entraîné par un contrepoids

---



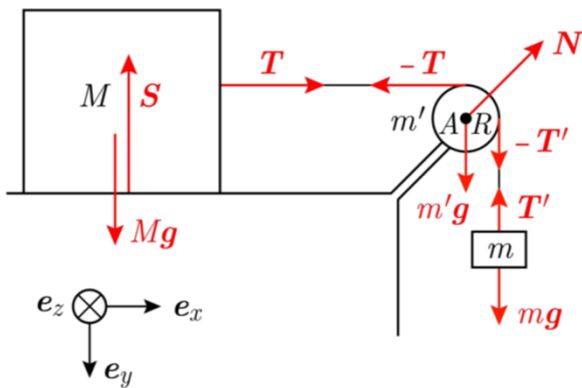
## 6.4.11 Glisseur entraîné par un contrepoids

On considère un glisseur de masse  $M$  sur un rail à air horizontal. Il est attaché à un fil qui coulisse sur une poulie de moment d'inertie  $I_A$  et il est entraîné par un contrepoids de masse  $m$ . On veut déterminer  $\dot{\omega}_A$ .



## 6.4.11 Glisseur entraîné par un contrepoids

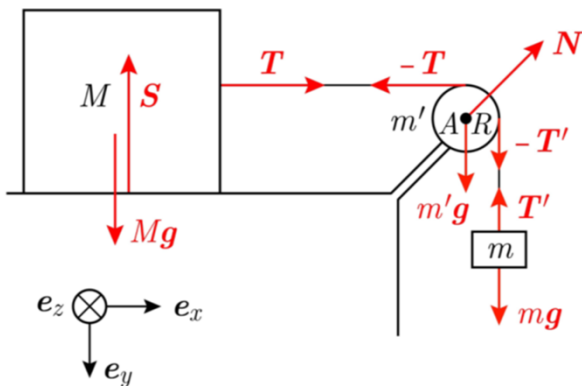
On considère un glisseur de masse  $M$  sur un rail à air horizontal. Il est attaché à un fil qui coulisse sur une poulie de moment d'inertie  $I_A$  et il est entraîné par un contrepoids de masse  $m$ . On veut déterminer  $\dot{\omega}_A$ .



Méthode : On considère le glisseur, le contrepoids et la poulie séparément et ensuite les liens entre les objets.

## 6.4.11 Glisseur entraîné par un contrepoids

On considère un glisseur de masse  $M$  sur un rail à air horizontal. Il est attaché à un fil qui coulisse sur une poulie de moment d'inertie  $I_A$  et il est entraîné par un contrepoids de masse  $m$ . On veut déterminer  $\dot{\omega}_A$ .



Méthode : On considère le glisseur, le contrepoids et la poulie séparément et ensuite les liens entre les objets.

1. Objet : glisseur de masse  $M$  (translation horizontale)

Forces : poids  $Mg$ , soutien  $S$ , tension du fil  $T$

Newton :  $Mg + S + T = Ma_M$

Selon  $e_x$  :  $T = Ma_M$

## *6.4.11 Glisseur entraîné par un contrepoids*

---

## 6.4.11 Glisseur entraîné par un contrepoids

---

2. Objet : contrepoids (translation verticale)

Forces : poids  $mg$ , tension  $T'$

Newton :  $mg + T' = ma_m$

Selon  $\mathbf{e}_y$  :  $mg - T' = ma_m$

## 6.4.11 Glisseur entraîné par un contrepoids

---

2. Objet : contrepoids (translation verticale)

Forces : poids  $mg$ , tension  $\mathbf{T}'$

Newton :  $mg + \mathbf{T}' = m\mathbf{a}_m$

Selon  $\mathbf{e}_y$  :  $mg - T' = ma_m$

3. Objet : poulie (rotation)

Forces : poids  $m'g$ , soutien  $\mathbf{N}$ , tensions  $-\mathbf{T}$  et  $-\mathbf{T}'$

Rotation par rapport à A :  $\underbrace{\mathbf{M}_A(m'g)}_{=0} + \underbrace{\mathbf{M}_A(\mathbf{N})}_{=0} + \mathbf{M}_A(-\mathbf{T}) + \mathbf{M}_A(-\mathbf{T}') = I_A \dot{\omega}_A$

Selon  $\mathbf{e}_z$  :

$$-RT + RT' = I_A \dot{\omega}_A$$

## 6.4.11 Glisseur entraîné par un contrepoids

---

2. Objet : contrepoids (translation verticale)

Forces : poids  $mg$ , tension  $\mathbf{T}'$

Newton :  $mg + \mathbf{T}' = m\mathbf{a}_m$

Selon  $\mathbf{e}_y$  :  $mg - T' = ma_m$

3. Objet : poulie (rotation)

Forces : poids  $m'g$ , soutien  $\mathbf{N}$ , tensions  $-\mathbf{T}$  et  $-\mathbf{T}'$

Rotation par rapport à A :  $\underbrace{\mathbf{M}_A(m'g)}_{=0} + \underbrace{\mathbf{M}_A(\mathbf{N})}_{=0} + \mathbf{M}_A(-\mathbf{T}) + \mathbf{M}_A(-\mathbf{T}') = I_A \dot{\omega}_A$

Selon  $\mathbf{e}_z$  :

$$-RT + RT' = I_A \dot{\omega}_A$$

- Si le moment d'inertie est non-nul, i.e.,  $I_A \neq 0$ , alors les normes des tensions sont différentes, i.e.,  $T \neq T'$ .

## *6.4.11 Glisseur entraîné par un contrepoids*

---

## 6.4.11 Glisseur entraîné par un contrepoids

---

4. Liaison glisseur-poulie : La vitesse scalaire  $v_M$  du glisseur est la même que celle d'un point sur le bord de la poulie (frottement statique) dont la vitesse angulaire est  $\omega_A$ .

$$v_M = R\omega_A \Rightarrow a_M = R\dot{\omega}_A$$

## 6.4.11 Glisseur entraîné par un contrepoids

---

4. Liaison glisseur-poulie : La vitesse scalaire  $v_M$  du glisseur est la même que celle d'un point sur le bord de la poulie (frottement statique) dont la vitesse angulaire est  $\omega_A$ .

$$v_M = R\omega_A \Rightarrow a_M = R\dot{\omega}_A$$

5. Liaison poulie-contrepoids : La vitesse scalaire  $v_m$  du contrepoids est la même que celle d'un point du bord de la poulie.

$$v_m = R\omega_A \Rightarrow a_m = R\dot{\omega}_A \Rightarrow a_m = a_M \equiv a$$

## 6.4.11 Glisseur entraîné par un contrepoids

4. Liaison glisseur-poulie : La vitesse scalaire  $v_M$  du glisseur est la même que celle d'un point sur le bord de la poulie (frottement statique) dont la vitesse angulaire est  $\omega_A$ .

$$v_M = R\omega_A \Rightarrow a_M = R\dot{\omega}_A$$

5. Liaison poulie-contrepoids : La vitesse scalaire  $v_m$  du contrepoids est la même que celle d'un point du bord de la poulie.

$$v_m = R\omega_A \Rightarrow a_m = R\dot{\omega}_A \Rightarrow a_m = a_M \equiv a$$

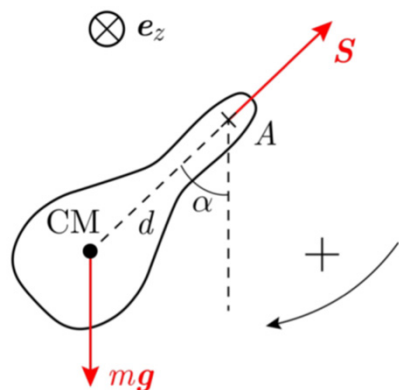
6. Résolution :  $\omega \equiv \omega_A$  et  $I_{CM} \equiv I_A$

$$\left. \begin{aligned} T &= Ma = MR\dot{\omega} \\ mg - T' &= ma = mR\dot{\omega} \\ -RT + RT' &= I_{CM}\dot{\omega} \end{aligned} \right\} \Rightarrow mgR = (MR^2 + mR^2 + I_{CM})\dot{\omega}$$

$$\Rightarrow \dot{\omega} = \frac{mgR}{MR^2 + mR^2 + I_{CM}} \quad (6.37)$$

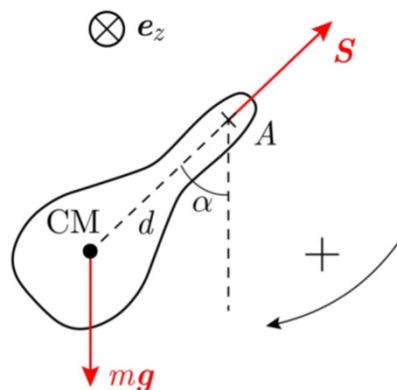
## 6.4.12 Pendule physique

---



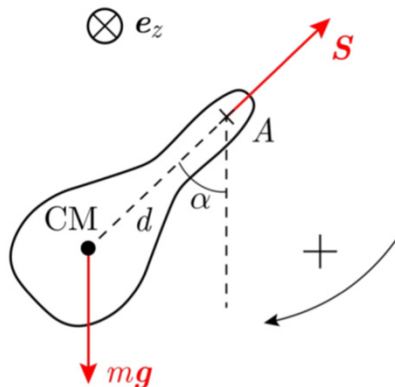
## 6.4.12 Pendule physique

Un pendule physique est un solide suspendu à un point fixe  $A$ .



## 6.4.12 Pendule physique

Un pendule physique est un solide suspendu à un point fixe  $A$ .



Objet : solide

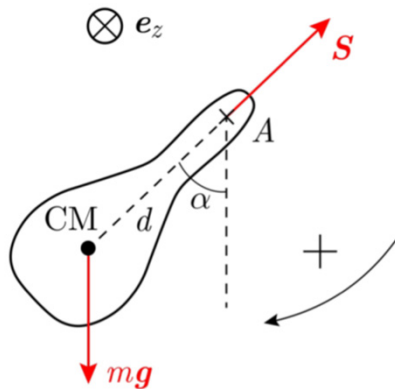
Forces : poids  $mg$ , soutien  $\mathbf{S}$

Rotation par rapport à A :

$$\mathbf{M}_A^{\text{ext}} = \mathbf{M}_A (mg) = I_A \dot{\omega}_A$$

## 6.4.12 Pendule physique

Un pendule physique est un solide suspendu à un point fixe  $A$ .



Objet : solide

Forces : poids  $mg$ , soutien  $\mathbf{S}$

Rotation par rapport à A :

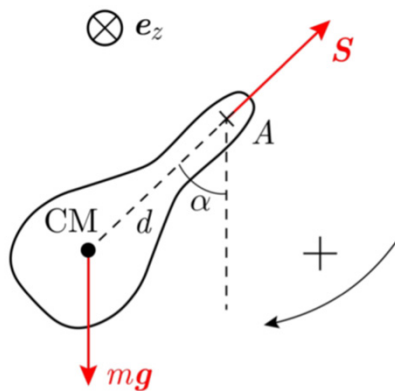
$$\mathbf{M}_A^{\text{ext}} = \mathbf{M}_A (mg) = I_A \dot{\omega}_A$$

- Selon  $\mathbf{e}_z$  (donnant le sens positif pour  $\alpha$  qui augmente) :

$$-dsin\alpha mg = I_A \dot{\omega}_A = I_A \ddot{\alpha}$$

## 6.4.12 Pendule physique

Un pendule physique est un solide suspendu à un point fixe  $A$ .



Objet : solide

Forces : poids  $mg$ , soutien  $\mathbf{S}$

Rotation par rapport à A :

$$\mathbf{M}_A^{\text{ext}} = \mathbf{M}_A (mg) = I_A \dot{\omega}_A$$

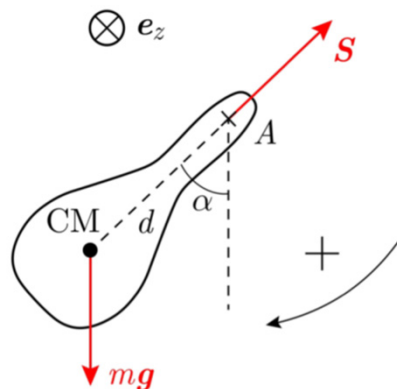
- Selon  $\mathbf{e}_z$  (donnant le sens positif pour  $\alpha$  qui augmente) :

$$-ds \sin \alpha mg = I_A \dot{\omega}_A = I_A \ddot{\alpha}$$

- Soit  $\Omega^2 = \frac{mgd}{I_A} > 0 \Rightarrow \boxed{\ddot{\alpha} = -\Omega^2 \sin \alpha \quad (6.38)}$

## 6.4.12 Pendule physique

Un pendule physique est un solide suspendu à un point fixe  $A$ .



Objet : solide

Forces : poids  $mg$ , soutien  $\mathbf{S}$

Rotation par rapport à A :

$$\mathbf{M}_A^{\text{ext}} = \mathbf{M}_A (mg) = I_A \dot{\omega}_A$$

- Selon  $\mathbf{e}_z$  (donnant le sens positif pour  $\alpha$  qui augmente) :

$$-dsin\alpha mg = I_A \dot{\omega}_A = I_A \ddot{\alpha}$$

- Soit  $\Omega^2 = \frac{mgd}{I_A} > 0 \Rightarrow \boxed{\ddot{\alpha} = -\Omega^2 \sin \alpha \quad (6.38)}$

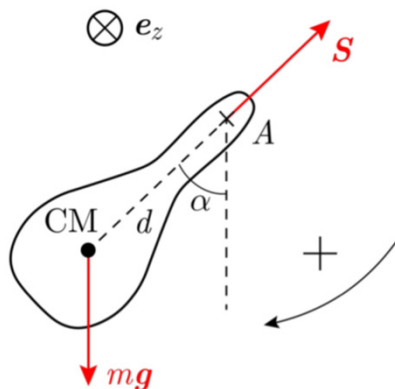
- Dans l'approximation des petits angles :  $\alpha \ll 1 \Rightarrow \sin \alpha \approx \alpha$

$\ddot{\alpha} = -\Omega^2 \alpha \quad (6.39)$

(oscillateur harmonique)

## 6.4.12 Pendule physique

Un pendule physique est un solide suspendu à un point fixe  $A$ .



Objet : solide

Forces : poids  $mg$ , soutien  $\mathbf{S}$

Rotation par rapport à A :

$$\mathbf{M}_A^{\text{ext}} = \mathbf{M}_A (mg) = I_A \dot{\omega}_A$$

- Selon  $\mathbf{e}_z$  (donnant le sens positif pour  $\alpha$  qui augmente) :

$$-d \sin \alpha mg = I_A \dot{\omega}_A = I_A \ddot{\alpha}$$

- Soit  $\Omega^2 = \frac{mgd}{I_A} > 0 \Rightarrow \boxed{\ddot{\alpha} = -\Omega^2 \sin \alpha} \quad (6.38)$

- Dans l'approximation des petits angles :  $\alpha \ll 1 \Rightarrow \sin \alpha \approx \alpha$

$\ddot{\alpha} = -\Omega^2 \alpha \quad (6.39)$

(oscillateur harmonique)

- Plus  $I_A$  est grand, plus la période d'oscillation est longue.

## 6.4.12 Pendule physique

---

Expérience :



## 6.4.12 Pendule physique

---

Expérience : Pendule physique



## 6.4.12 Pendule physique

---

Expérience : Pendule physique



- On constate que la période d'oscillation du pendule physique est une fonction de la position de l'axe de rotation qui détermine le moment d'inertie.

## 6.4.12 Pendule physique

---

Expérience : Pendule physique



- On constate que la période d'oscillation du pendule physique est une fonction de la position de l'axe de rotation qui détermine le moment d'inertie.
- Plus  $I_A$  est grand, plus la période d'oscillation est longue.

$$T = \frac{2\pi}{\Omega} = 2\pi \sqrt{\frac{I_A}{mgd}} \text{ et } I_A = I_{CM} + md^2$$

---

## 6.5 Référentiel du centre de masse

## *6.5 Référentiel du centre de masse*

---

## 6.5 Référentiel du centre de masse

---

- Par rapport à un référentiel d'inertie muni d'une origine  $O$ , la 2<sup>ème</sup> loi de Newton en translation et en rotation pour un point matériel s'exprime comme :

$$\mathbf{F}_i = m_i \mathbf{a}_i \text{ et } \mathbf{M}_{O,i} = \dot{\mathbf{L}}_{O,i} \quad (6.40)$$

## 6.5 Référentiel du centre de masse

---

- Par rapport à un référentiel d'inertie muni d'une origine  $O$ , la 2<sup>ème</sup> loi de Newton en translation et en rotation pour un point matériel s'exprime comme :

$$\mathbf{F}_i = m_i \mathbf{a}_i \text{ et } \mathbf{M}_{O,i} = \dot{\mathbf{L}}_{O,i} \quad (6.40)$$

- On considère un objet formé de points matériels et on note  $\mathbf{a}_{CM}$  l'accélération de son centre de masse.

## 6.5 Référentiel du centre de masse

---

- Par rapport à un référentiel d'inertie muni d'une origine  $O$ , la 2<sup>ème</sup> loi de Newton en translation et en rotation pour un point matériel s'exprime comme :

$$\mathbf{F}_i = m_i \mathbf{a}_i \text{ et } \mathbf{M}_{O,i} = \dot{\mathbf{L}}_{O,i} \quad (6.40)$$

- On considère un objet formé de points matériels et on note  $\mathbf{a}_{CM}$  l'accélération de son centre de masse.
- On se limite au cas où le centre de masse a un mouvement rectiligne (translation) par rapport au référentiel d'inertie.

## 6.5 Référentiel du centre de masse

---

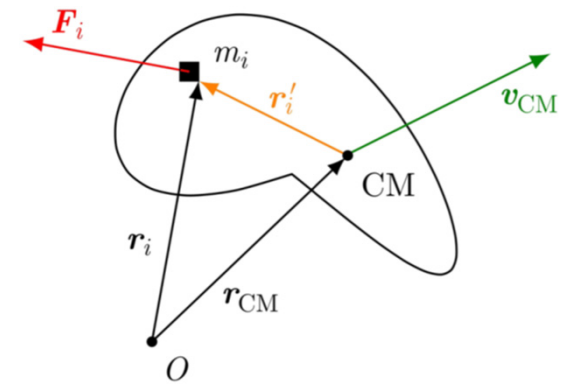
- Par rapport à un référentiel d'inertie muni d'une origine  $O$ , la 2<sup>ème</sup> loi de Newton en translation et en rotation pour un point matériel s'exprime comme :

$$\mathbf{F}_i = m_i \mathbf{a}_i \text{ et } \mathbf{M}_{O,i} = \dot{\mathbf{L}}_{O,i} \quad (6.40)$$

- On considère un objet formé de points matériels et on note  $\mathbf{a}_{CM}$  l'accélération de son centre de masse.
- On se limite au cas où le centre de masse a un mouvement rectiligne (translation) par rapport au référentiel d'inertie.
- Les grandeurs cinématiques (position, vitesse, accélération) dans le référentiel  $\mathcal{R}'$  du centre de masse sont liées aux grandeurs correspondantes dans le référentiel d'inertie  $\mathcal{R}$  par :

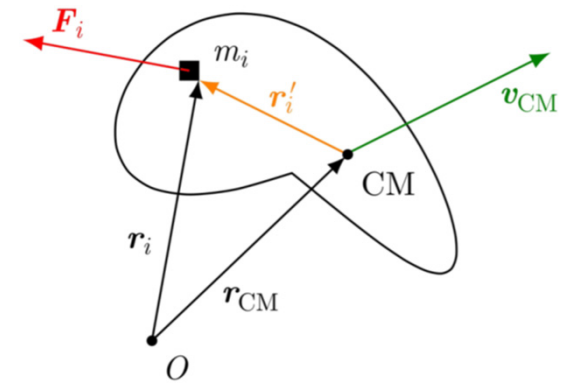
## 6.5 Référentiel du centre de masse

---



## 6.5 Référentiel du centre de masse

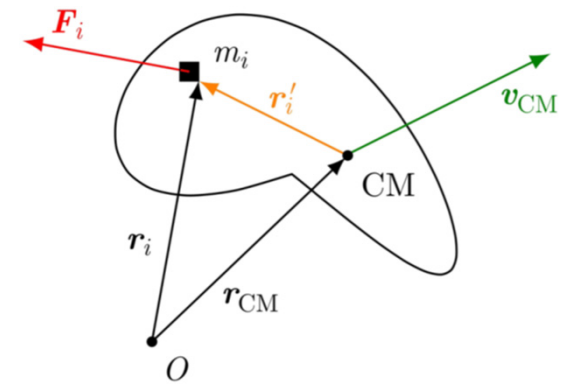
- Référentiel d'inertie :  $\mathcal{R}$



## 6.5 Référentiel du centre de masse

---

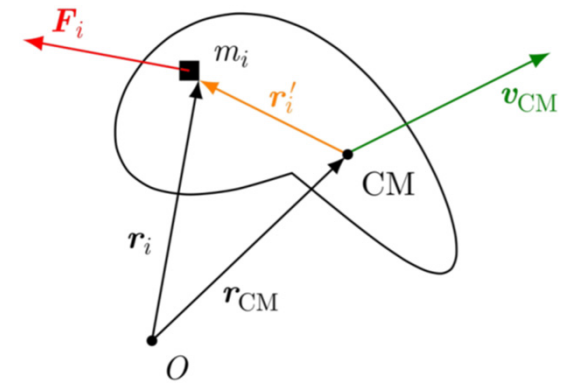
- Référentiel d'inertie :  $\mathcal{R}$
- Référentiel du centre de masse :  $\mathcal{R}'$



## 6.5 Référentiel du centre de masse

- Référentiel d'inertie :  $\mathcal{R}$
  - Référentiel du centre de masse :  $\mathcal{R}'$
1. Position :

$$\underbrace{\mathbf{r}_i}_{\in \mathcal{R}} = \underbrace{\mathbf{r}_{CM}}_{\in \mathcal{R}} + \underbrace{\mathbf{r}'_i}_{\in \mathcal{R}'} \quad (6.41)$$



## 6.5 Référentiel du centre de masse

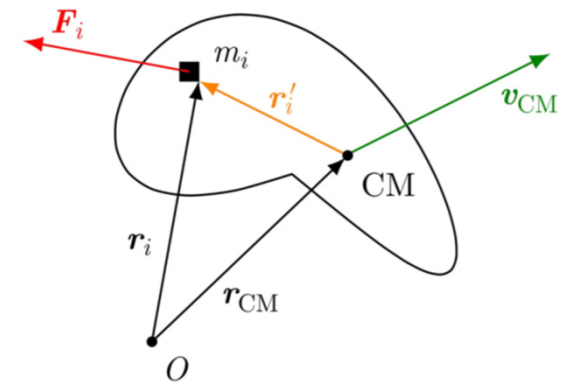
- Référentiel d'inertie :  $\mathcal{R}$
- Référentiel du centre de masse :  $\mathcal{R}'$

1. Position :

$$\underbrace{\mathbf{r}_i}_{\in \mathcal{R}} = \underbrace{\mathbf{r}_{CM}}_{\in \mathcal{R}} + \underbrace{\mathbf{r}'_i}_{\in \mathcal{R}'} \quad (6.41)$$

2. Vitesse :

$$\mathbf{v}_i = \mathbf{v}_{CM} + \mathbf{v}'_i \quad (6.42)$$



## 6.5 Référentiel du centre de masse

- Référentiel d'inertie :  $\mathcal{R}$
- Référentiel du centre de masse :  $\mathcal{R}'$

1. Position :

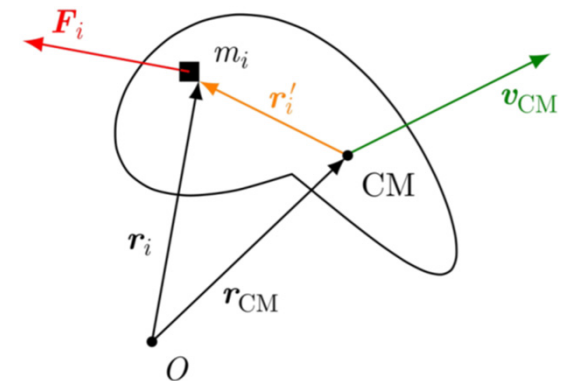
$$\underset{\in \mathcal{R}}{\underbrace{\mathbf{r}_i}} = \underset{\in \mathcal{R}}{\underbrace{\mathbf{r}_{CM}}} + \underset{\in \mathcal{R}'}{\underbrace{\mathbf{r}'_i}} \quad (6.41)$$

2. Vitesse :

$$\mathbf{v}_i = \mathbf{v}_{CM} + \mathbf{v}'_i \quad (6.42)$$

3. Accélération :

$$\mathbf{a}_i = \mathbf{a}_{CM} + \mathbf{a}'_i \quad (6.43)$$



## 6.5 Référentiel du centre de masse

- Référentiel d'inertie :  $\mathcal{R}$
- Référentiel du centre de masse :  $\mathcal{R}'$

1. Position :

$$\underbrace{\mathbf{r}_i}_{\in \mathcal{R}} = \underbrace{\mathbf{r}_{CM}}_{\in \mathcal{R}} + \underbrace{\mathbf{r}'_i}_{\in \mathcal{R}'} \quad (6.41)$$

2. Vitesse :

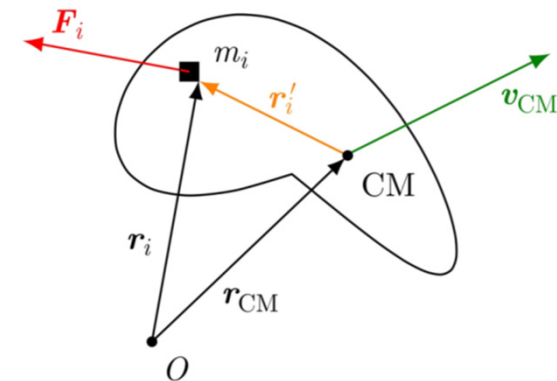
$$\mathbf{v}_i = \mathbf{v}_{CM} + \mathbf{v}'_i \quad (6.42)$$

3. Accélération :

$$\mathbf{a}_i = \mathbf{a}_{CM} + \mathbf{a}'_i \quad (6.43)$$

- Le centre de masse (CM) est immobile par rapport à  $\mathcal{R}'$ .

$$\mathbf{r}_{CM}' = \mathbf{0}; \quad \mathbf{v}_{CM}' = \mathbf{0} \quad \text{et} \quad \mathbf{a}_{CM}' = \mathbf{0} \quad (6.44)$$

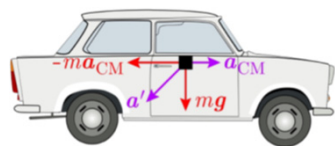


## 6.5.1 Force d'inertie et 6.5.2 chute libre en voiture

---

Remarque :

Chute libre en voiture



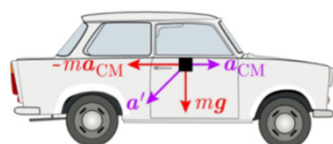
## 6.5.1 Force d'inertie et 6.5.2 chute libre en voiture

- 2<sup>ème</sup> loi de Newton (référentiel d'inertie  $\mathcal{R}$ ) :

$$\mathbf{F}_i = m_i \mathbf{a}_i \text{ où } \mathbf{a}_i = \mathbf{a}_{CM} + \mathbf{a}_i' \quad (6.45)$$

Remarque :

Chute libre en voiture



## 6.5.1 Force d'inertie et 6.5.2 chute libre en voiture

- 2<sup>ème</sup> loi de Newton (référentiel d'inertie  $\mathcal{R}$ ) :

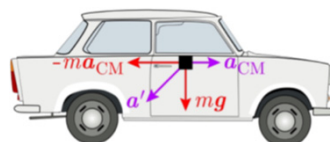
$$\mathbf{F}_i = m_i \mathbf{a}_i \text{ où } \mathbf{a}_i = \mathbf{a}_{CM} + \mathbf{a}'_i \quad (6.45)$$

- 2<sup>ème</sup> loi de Newton (référentiel du centre de masse  $\mathcal{R}'$ ) :

$$\mathbf{F}_i - m_i \mathbf{a}_{CM} = m_i \mathbf{a}'_i \quad (6.46) \quad \text{où le terme } -m_i \mathbf{a}_{CM} \text{ est une force appelée « force d'inertie ».}$$

Remarque :

### Chute libre en voiture



## 6.5.1 Force d'inertie et 6.5.2 chute libre en voiture

- 2<sup>ème</sup> loi de Newton (référentiel d'inertie  $\mathcal{R}$ ) :

$$\mathbf{F}_i = m_i \mathbf{a}_i \text{ où } \mathbf{a}_i = \mathbf{a}_{CM} + \mathbf{a}'_i \quad (6.45)$$

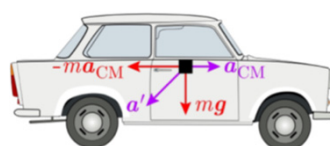
- 2<sup>ème</sup> loi de Newton (référentiel du centre de masse  $\mathcal{R}'$ ) :

$$\mathbf{F}_i - m_i \mathbf{a}_{CM} = m_i \mathbf{a}'_i \quad (6.46) \quad \text{où le terme } -m_i \mathbf{a}_{CM} \text{ est une force appelée « force d'inertie ».}$$

Remarque :

Si le référentiel du centre de masse a un mouvement de rotation par rapport au référentiel d'inertie, il faut ajouter d'autres forces d'inertie (centrifuge, Coriolis, Euler).

### Chute libre en voiture



## 6.5.1 Force d'inertie et 6.5.2 chute libre en voiture

- 2<sup>ème</sup> loi de Newton (référentiel d'inertie  $\mathcal{R}$ ) :

$$\mathbf{F}_i = m_i \mathbf{a}_i \text{ où } \mathbf{a}_i = \mathbf{a}_{CM} + \mathbf{a}' \quad (6.45)$$

- 2<sup>ème</sup> loi de Newton (référentiel du centre de masse  $\mathcal{R}'$ ) :

$$\mathbf{F}_i - m_i \mathbf{a}_{CM} = m_i \mathbf{a}' \quad (6.46) \quad \text{où le terme } -m_i \mathbf{a}_{CM} \text{ est une force appelée « force d'inertie ».}$$

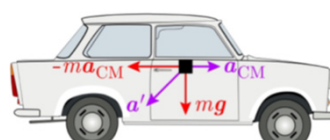
Remarque :

Si le référentiel du centre de masse a un mouvement de rotation par rapport au référentiel d'inertie, il faut ajouter d'autres forces d'inertie (centrifuge, Coriolis, Euler).

### Chute libre en voiture

Objet : masse  $m$

Forces : poids  $mg$ , force d'inertie  $-ma_{CM}$



Référentiel : centre de masse de la voiture

Newton :  $mg - ma_{CM} = ma' \Rightarrow$

$$\mathbf{a}' = \mathbf{g} - \mathbf{a}_{CM} \quad (6.47)$$

### *6.5.3 Théorème du moment cinétique pour un solide*

---

### 6.5.3 Théorème du moment cinétique pour un solide

---

- Le moment de la force  $\mathbf{F}_i$  par rapport à l'origine  $O$  s'écrit :

$$\mathbf{M}_{O,i} = \mathbf{r}_i \times \mathbf{F}_i = (\mathbf{r}_{CM} + \mathbf{r}'_i) \times \mathbf{F}_i = \mathbf{r}_{CM} \times \mathbf{F}_i + \underbrace{\mathbf{r}'_i \times \mathbf{F}_i}_{\mathbf{M}_{CM,i}} \quad (6.48)$$

### 6.5.3 Théorème du moment cinétique pour un solide

- Le moment de la force  $\mathbf{F}_i$  par rapport à l'origine  $O$  s'écrit :

$$\mathbf{M}_{O,i} = \mathbf{r}_i \times \mathbf{F}_i = (\mathbf{r}_{CM} + \mathbf{r}'_i) \times \mathbf{F}_i = \mathbf{r}_{CM} \times \mathbf{F}_i + \underbrace{\mathbf{r}'_i \times \mathbf{F}_i}_{\mathbf{M}_{CM,i}} \quad (6.48)$$

- La somme des moments de force (6.48) est :

$$\mathbf{M}_O^{\text{ext}} = \sum_i \mathbf{M}_{O,i}^{\text{ext}} = \mathbf{r}_{CM} \times \sum_i \mathbf{F}_i^{\text{ext}} + \sum_i \mathbf{M}_{CM,i}^{\text{ext}} = \mathbf{r}_{CM} \times \mathbf{F}^{\text{ext}} + \mathbf{M}_{CM}^{\text{ext}} \quad (6.49)$$

### 6.5.3 Théorème du moment cinétique pour un solide

- Le moment de la force  $\mathbf{F}_i$  par rapport à l'origine  $O$  s'écrit :

$$\mathbf{M}_{O,i} = \mathbf{r}_i \times \mathbf{F}_i = (\mathbf{r}_{CM} + \mathbf{r}'_i) \times \mathbf{F}_i = \mathbf{r}_{CM} \times \mathbf{F}_i + \underbrace{\mathbf{r}'_i \times \mathbf{F}_i}_{\mathbf{M}_{CM,i}} \quad (6.48)$$

- La somme des moments de force (6.48) est :

$$\mathbf{M}_O^{\text{ext}} = \sum_i \mathbf{M}_{O,i}^{\text{ext}} = \mathbf{r}_{CM} \times \sum_i \mathbf{F}_i^{\text{ext}} + \sum_i \mathbf{M}_{CM,i}^{\text{ext}} = \mathbf{r}_{CM} \times \mathbf{F}^{\text{ext}} + \mathbf{M}_{CM}^{\text{ext}} \quad (6.49)$$

- Le moment cinétique par rapport à l'origine  $O$  s'écrit :

$$\mathbf{L}_{O,i} = \mathbf{r}_i \times m_i \mathbf{v}_i = (\mathbf{r}_{CM} + \mathbf{r}'_i) \times m_i (\mathbf{v}_{CM} + \mathbf{v}'_i)$$

$$\Rightarrow \mathbf{L}_{O,i} = \mathbf{r}_{CM} \times m_i \mathbf{v}_{CM} + \mathbf{r}_{CM} \times m_i \mathbf{v}'_i + m_i \mathbf{r}'_i \times \mathbf{v}_{CM} + \underbrace{\mathbf{r}'_i \times m_i \mathbf{v}'_i}_{\mathbf{L}_{CM,i}} \quad (6.50)$$

### 6.5.3 Théorème du moment cinétique pour un solide

- Le moment de la force  $\mathbf{F}_i$  par rapport à l'origine  $O$  s'écrit :

$$\mathbf{M}_{O,i} = \mathbf{r}_i \times \mathbf{F}_i = (\mathbf{r}_{CM} + \mathbf{r}'_i) \times \mathbf{F}_i = \mathbf{r}_{CM} \times \mathbf{F}_i + \underbrace{\mathbf{r}'_i \times \mathbf{F}_i}_{\mathbf{M}_{CM,i}} \quad (6.48)$$

- La somme des moments de force (6.48) est :

$$\mathbf{M}_O^{\text{ext}} = \sum_i \mathbf{M}_{O,i}^{\text{ext}} = \mathbf{r}_{CM} \times \sum_i \mathbf{F}_i^{\text{ext}} + \sum_i \mathbf{M}_{CM,i}^{\text{ext}} = \mathbf{r}_{CM} \times \mathbf{F}^{\text{ext}} + \mathbf{M}_{CM}^{\text{ext}} \quad (6.49)$$

- Le moment cinétique par rapport à l'origine  $O$  s'écrit :

$$\mathbf{L}_{O,i} = \mathbf{r}_i \times m_i \mathbf{v}_i = (\mathbf{r}_{CM} + \mathbf{r}'_i) \times m_i (\mathbf{v}_{CM} + \mathbf{v}'_i)$$

$$\Rightarrow \mathbf{L}_{O,i} = \mathbf{r}_{CM} \times m_i \mathbf{v}_{CM} + \mathbf{r}_{CM} \times m_i \mathbf{v}'_i + m_i \mathbf{r}'_i \times \mathbf{v}_{CM} + \underbrace{\mathbf{r}'_i \times m_i \mathbf{v}'_i}_{\mathbf{L}_{CM,i}} \quad (6.50)$$

- La somme des moments cinétiques (6.50) est égale à :

$$\begin{aligned} \mathbf{L}_O &= \sum_i \mathbf{L}_{O,i} = \mathbf{r}_{CM} \times \sum_i m_i \mathbf{v}_{CM} + \mathbf{r}_{CM} \times \sum_i m_i \mathbf{v}'_i + \sum_i m_i \mathbf{r}'_i \times \mathbf{v}_{CM} + \sum_i \mathbf{L}_{CM,i} \\ &= \mathbf{r}_{CM} \times m \mathbf{v}_{CM} + \mathbf{r}_{CM} \times \underbrace{m \mathbf{v}'_{CM}}_{=0} + \underbrace{m \mathbf{r}'_{CM} \times \mathbf{v}_{CM}}_{=0} + \mathbf{L}_{CM} \end{aligned}$$

### *6.5.3 Théorème du moment cinétique pour un solide*

---

### 6.5.3 Théorème du moment cinétique pour un solide

---

$$\mathbf{L}_o = \mathbf{r}_{CM} \times m\mathbf{v}_{CM} + \mathbf{L}_{CM} \quad (6.51)$$

### 6.5.3 Théorème du moment cinétique pour un solide

---

$$\mathbf{L}_o = \mathbf{r}_{CM} \times m\mathbf{v}_{CM} + \mathbf{L}_{CM} \quad (6.51)$$

- La dérivée temporelle de (6.51) s'écrit :

$$\dot{\mathbf{L}}_o = \underbrace{\dot{\mathbf{r}}_{CM}}_{=\mathbf{v}_{CM}} \times m\mathbf{v}_{CM} + \mathbf{r}_{CM} \times m\dot{\mathbf{v}}_{CM} + \dot{\mathbf{L}}_{CM}$$

$$\dot{\mathbf{L}}_o = \mathbf{r}_{CM} \times m\mathbf{a}_{CM} + \dot{\mathbf{L}}_{CM} \quad (6.52)$$

### 6.5.3 Théorème du moment cinétique pour un solide

---

$$\mathbf{L}_O = \mathbf{r}_{CM} \times m\mathbf{v}_{CM} + \mathbf{L}_{CM} \quad (6.51)$$

- La dérivée temporelle de (6.51) s'écrit :

$$\dot{\mathbf{L}}_O = \underbrace{\dot{\mathbf{r}}_{CM}}_{= \mathbf{v}_{CM}} \times m\mathbf{v}_{CM} + \mathbf{r}_{CM} \times m\dot{\mathbf{v}}_{CM} + \dot{\mathbf{L}}_{CM}$$

$$\dot{\mathbf{L}}_O = \mathbf{r}_{CM} \times m\mathbf{a}_{CM} + \dot{\mathbf{L}}_{CM} \quad (6.52)$$

- Le théorème du moment cinétique pour un solide devient :

$$\mathbf{M}_O^{ext} = \dot{\mathbf{L}}_O \quad (O \text{ est un point fixe})$$

$$\Rightarrow \mathbf{r}_{CM} \times \mathbf{F}^{ext} + \mathbf{M}_{CM}^{ext} = \mathbf{r}_{CM} \times m\mathbf{a}_{CM} + \dot{\mathbf{L}}_{CM} \quad \text{où } \mathbf{F}^{ext} = m\mathbf{a}_{CM}$$

### 6.5.3 Théorème du moment cinétique pour un solide

$$\mathbf{L}_O = \mathbf{r}_{CM} \times m\mathbf{v}_{CM} + \mathbf{L}_{CM} \quad (6.51)$$

- La dérivée temporelle de (6.51) s'écrit :

$$\dot{\mathbf{L}}_O = \underbrace{\dot{\mathbf{r}}_{CM}}_{= \mathbf{v}_{CM}} \times m\mathbf{v}_{CM} + \mathbf{r}_{CM} \times m\dot{\mathbf{v}}_{CM} + \dot{\mathbf{L}}_{CM}$$

$$\dot{\mathbf{L}}_O = \mathbf{r}_{CM} \times m\mathbf{a}_{CM} + \dot{\mathbf{L}}_{CM} \quad (6.52)$$

- Le théorème du moment cinétique pour un solide devient :

$$\mathbf{M}_O^{ext} = \dot{\mathbf{L}}_O \quad (O \text{ est un point fixe})$$

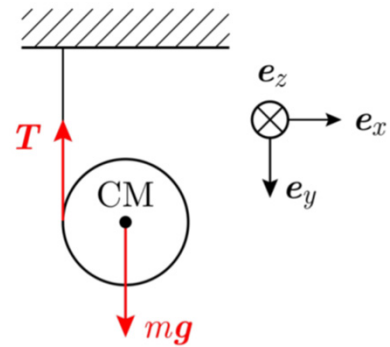
$$\Rightarrow \mathbf{r}_{CM} \times \mathbf{F}^{ext} + \mathbf{M}_{CM}^{ext} = \mathbf{r}_{CM} \times m\mathbf{a}_{CM} + \dot{\mathbf{L}}_{CM} \quad \text{où } \mathbf{F}^{ext} = m\mathbf{a}_{CM}$$

- Ainsi,  $\mathbf{M}_{CM}^{ext} = \dot{\mathbf{L}}_{CM} \quad (6.53)$

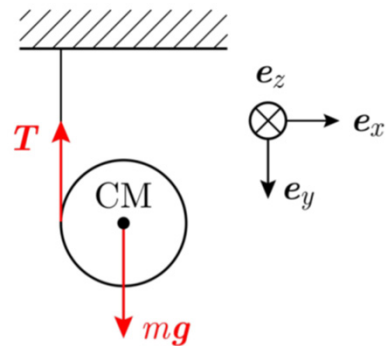
Ce théorème est valable même si le centre de masse est accéléré.

## 6.5.4 Yo-yo

---



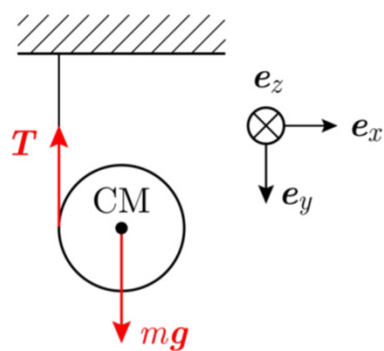
## 6.5.4 Yo-yo



- Objet : disque plein  $\left( I_{\text{CM}} = \frac{1}{2}mR^2 \right)$
- Forces : poids  $mg$ , tension  $T$
- Newton :  $mg + T = m\mathbf{a}_{\text{CM}}$

Selon  $\mathbf{e}_y$  :  $mg - T = m\mathbf{a}_{\text{CM}}$  (6.54)

## 6.5.4 Yo-yo



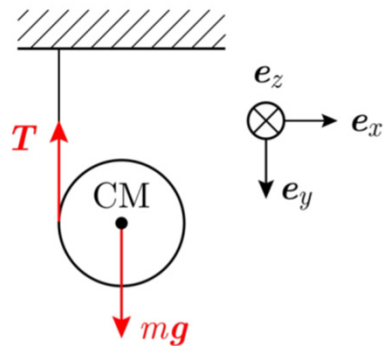
- Objet : disque plein  $\left( I_{CM} = \frac{1}{2}mR^2 \right)$
- Forces : poids  $mg$ , tension  $T$
- Newton :  $mg + T = ma_{CM}$

Selon  $\mathbf{e}_y$  :  $mg - T = ma_{CM}$  (6.54)

- Rotation (par rapport au centre de masse) :  $\mathbf{M}_{CM}^{ext} = \mathbf{M}_{CM}(T) = I_{CM} \dot{\omega}_{CM}$

Selon  $\mathbf{e}_z$  :  $RT = I_{CM} \dot{\omega}_{CM} = \frac{1}{2}mR^2 \dot{\omega}_{CM}$  (6.55)

## 6.5.4 Yo-yo



- Objet : disque plein  $\left( I_{CM} = \frac{1}{2}mR^2 \right)$
- Forces : poids  $mg$ , tension  $T$
- Newton :  $mg + T = m\mathbf{a}_{CM}$

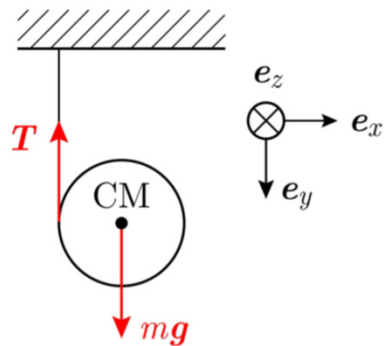
Selon  $\mathbf{e}_y$  :  $mg - T = m\mathbf{a}_{CM}$  (6.54)

- Rotation (par rapport au centre de masse) :  $\mathbf{M}_{CM}^{ext} = \mathbf{M}_{CM}(T) = I_{CM}\dot{\omega}_{CM}$

Selon  $\mathbf{e}_z$  :  $RT = I_{CM}\dot{\omega}_{CM} = \frac{1}{2}mR^2\dot{\omega}_{CM}$  (6.55)

- Liaison (le fil se déroule) :  $v_{CM} = R\omega_{CM} \Rightarrow a_{CM} = R\dot{\omega}_{CM}$  (6.56)

## 6.5.4 Yo-yo



- Objet : disque plein  $\left( I_{CM} = \frac{1}{2}mR^2 \right)$
- Forces : poids  $mg$ , tension  $T$
- Newton :  $mg + T = m\mathbf{a}_{CM}$

Selon  $\mathbf{e}_y$  :  $mg - T = m\mathbf{a}_{CM}$  (6.54)

- Rotation (par rapport au centre de masse) :  $\mathbf{M}_{CM}^{ext} = \mathbf{M}_{CM}(T) = I_{CM}\dot{\omega}_{CM}$

Selon  $\mathbf{e}_z$  :  $RT = I_{CM}\dot{\omega}_{CM} = \frac{1}{2}mR^2\dot{\omega}_{CM}$  (6.55)

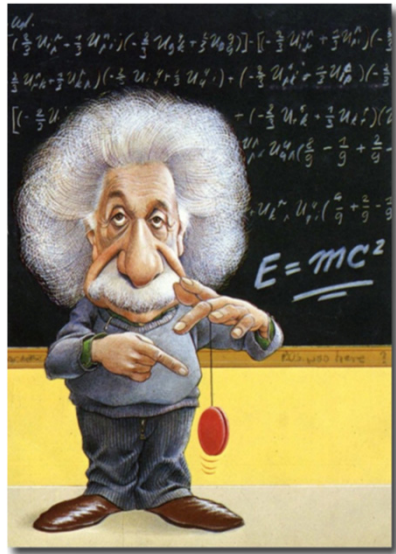
- Liaison (le fil se déroule) :  $v_{CM} = R\omega_{CM} \Rightarrow a_{CM} = R\dot{\omega}_{CM}$  (6.56)

- Résolution : Soit  $\omega \equiv \omega_{CM}$  alors  $a \equiv a_{CM} = R\dot{\omega}$

$$\left. \begin{array}{l} mg - T = mR\dot{\omega} \\ T = \frac{1}{2}mR\dot{\omega} \end{array} \right\} \Rightarrow mg = \frac{3}{2}mR\dot{\omega} \Rightarrow \dot{\omega} = \frac{2g}{3R} \quad \Rightarrow a = \frac{2}{3}g \text{ et } T = \frac{1}{3}mg \quad (6.57)$$

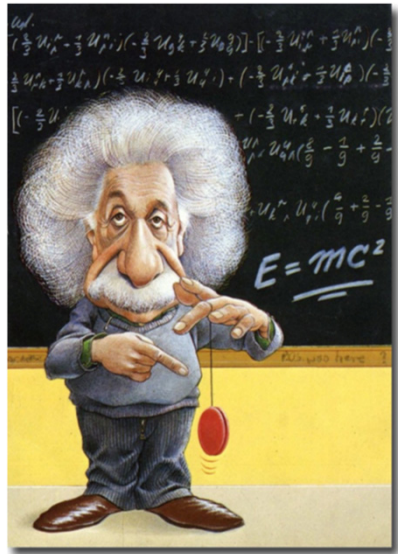
## 6.5.4 Yo-yo

Expérience :



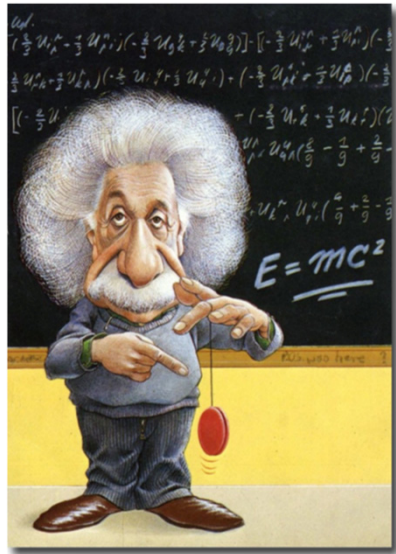
## 6.5.4 Yo-yo

### Expérience : Yo-yo



## 6.5.4 Yo-yo

### Expérience : Yo-yo

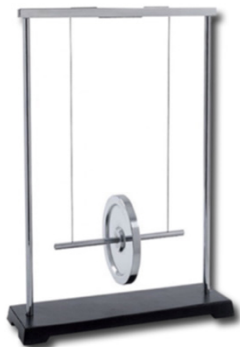


- L'accélération du centre de masse d'un yo-yo est égale à  $\frac{2}{3}g$ , si le yo-yo est considéré comme un cylindre plein.
- La tension dans le fil vaut  $1/3$  du poids du yo-yo.

## 6.5.4 Yo-yo

---

Expérience :



## 6.5.4 Yo-yo

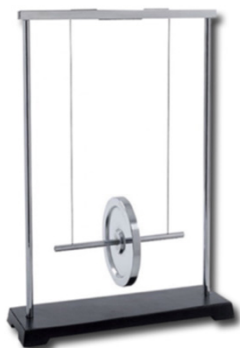
---

Expérience : Roue de Maxwell (yo-yo)



## 6.5.4 Yo-yo

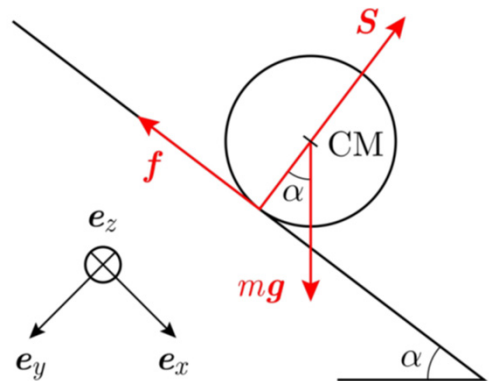
Expérience : Roue de Maxwell (yo-yo)



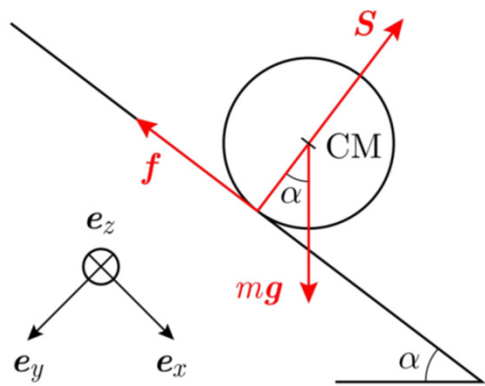
- L'accélération  $a = \frac{2}{3}g$  de la roue de Maxwell est déterminée expérimentalement à l'aide de capteurs de vitesse connaissant la distance verticale qui les sépare.
- À l'aide de capteurs de force fixés aux points de suspension des fils, on montre que la tension  $T = \frac{1}{3}mg$ .

## 6.5.5 Cylindre roulant sans glisser

---



## 6.5.5 Cylindre roulant sans glisser

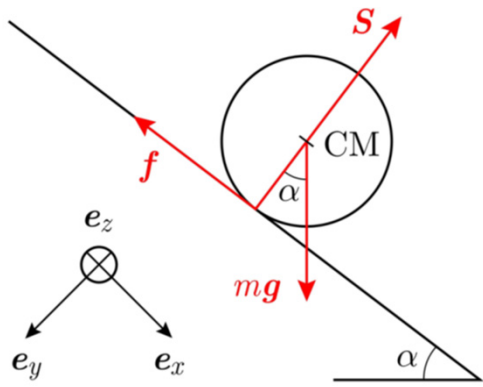


- Objet : cylindre
- Forces : poids  $mg$ , soutien  $S$ , frottement  $f$
- Newton :  $mg + S + f = ma$

Selon  $e_x$  :  $mgsin\alpha - f = ma$  (6.58)

Selon  $e_y$  :  $mgcos\alpha - S = 0$

## 6.5.5 Cylindre roulant sans glisser



- Objet : cylindre
- Forces : poids  $mg$ , soutien  $S$ , frottement  $f$
- Newton :  $mg + S + f = ma$

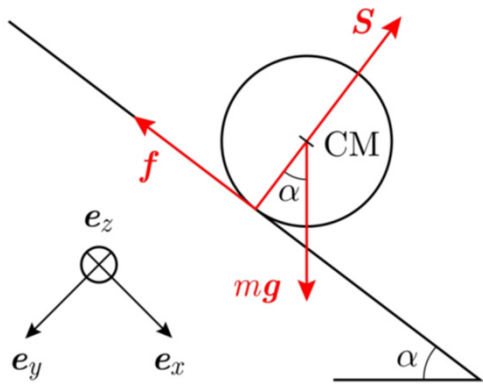
Selon  $\mathbf{e}_x$  :  $mgsin\alpha - f = ma$  (6.58)

Selon  $\mathbf{e}_y$  :  $mgcos\alpha - S = 0$

- Rotation (par rapport au centre de masse) :  $\mathbf{M}_{CM}^{ext} = \mathbf{M}_{CM}(f) = I_{CM} \dot{\omega}_{CM}$

Selon  $\mathbf{e}_z$  :  $Rf = I_{CM} \dot{\omega}_{CM}$  (6.59)

## 6.5.5 Cylindre roulant sans glisser



- Objet : cylindre
- Forces : poids  $mg$ , soutien  $S$ , frottement  $f$
- Newton :  $mg + S + f = ma$

Selon  $\mathbf{e}_x$  :  $mgsin\alpha - f = ma$  (6.58)

Selon  $\mathbf{e}_y$  :  $mgcos\alpha - S = 0$

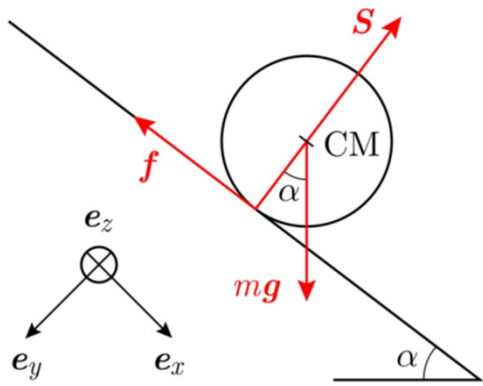
- Rotation (par rapport au centre de masse) :  $\mathbf{M}_{CM}^{ext} = \mathbf{M}_{CM}(f) = I_{CM} \dot{\omega}_{CM}$

Selon  $\mathbf{e}_z$  :  $Rf = I_{CM} \dot{\omega}_{CM}$  (6.59)

- Liaison (le cylindre roule sans glisser : vitesse du point de contact nulle) :

$$v = R\omega_{CM} \Rightarrow a = R\dot{\omega}_{CM} \quad (6.60)$$

## 6.5.5 Cylindre roulant sans glisser



- Objet : cylindre
- Forces : poids  $mg$ , soutien  $S$ , frottement  $f$
- Newton :  $mg + S + f = ma$

Selon  $\mathbf{e}_x$  :  $mgsin\alpha - f = ma \quad (6.58)$

Selon  $\mathbf{e}_y$  :  $mgcos\alpha - S = 0$

- Rotation (par rapport au centre de masse) :  $\mathbf{M}_{CM}^{ext} = \mathbf{M}_{CM}(f) = I_{CM}\dot{\omega}_{CM}$

Selon  $\mathbf{e}_z$  :  $Rf = I_{CM}\dot{\omega}_{CM} \quad (6.59)$

- Liaison (le cylindre roule sans glisser : vitesse du point de contact nulle) :

$$v = R\omega_{CM} \Rightarrow a = R\dot{\omega}_{CM} \quad (6.60)$$

- Résolution : Soit  $\omega \equiv \omega_{CM}$  alors  $a = R\dot{\omega}$   $\Rightarrow a_{cyl. \text{ plein}} > a_{cyl. \text{ creux}}$  (masse identique)

$$\left. \begin{array}{l} mgsin\alpha - f = mR\dot{\omega} \\ Rf = I_{CM}\dot{\omega} \end{array} \right\} \Rightarrow mgRsin\alpha = (mR^2 + I_{CM})\dot{\omega} \Rightarrow \dot{\omega} = \frac{mgRsin\alpha}{mR^2 + I_{CM}} \Rightarrow a = \frac{gsin\alpha}{1 + I_{CM}/mR^2}$$

## 6.5.5 Cylindre roulant sans glisser

---

Expérience :



## ***6.5.5 Cylindre roulant sans glisser***

---

Expérience : Cylindres plein et creux



## 6.5.5 Cylindre roulant sans glisser

---

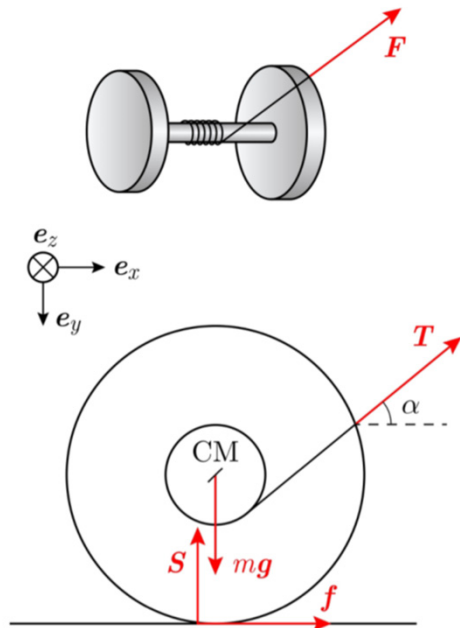
Expérience : Cylindres plein et creux



- Deux cylindres de masse et de rayon égaux sont lâchés initialement au repos et roulent sans glisser sur un plan incliné. Le cylindre plein a un moment d'inertie plus faible et donc une accélération plus grande que le cylindre creux. Il arrive donc en premier en bas du plan incliné.

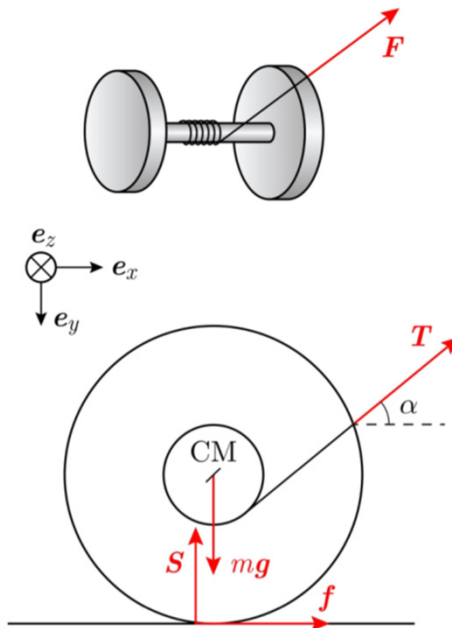
## 6.5.6 Haltère tiré par un fil

---



Remarque :

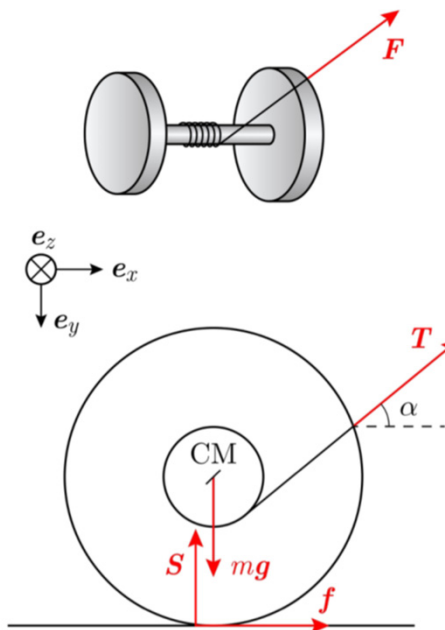
## 6.5.6 Haltère tiré par un fil



- L'haltère est formé d'une poignée, d'un cylindre de rayon  $r$ , et de deux disques de rayon  $R$  (où  $R \gg r$ ). Son moment d'inertie est la somme des moments d'inertie.  
 $I_{CM} = I_{CM}(\text{poignée}) + 2I_{CM}(\text{disque})$

Remarque :

## 6.5.6 Haltère tiré par un fil



- L'haltère est formé d'une poignée, d'un cylindre de rayon  $r$ , et de deux disques de rayon  $R$  (où  $R \gg r$ ). Son moment d'inertie est la somme des moments d'inertie.

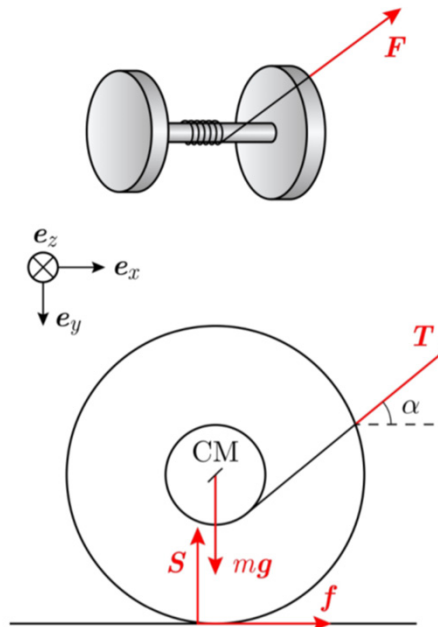
$$I_{CM} = I_{CM}(\text{poignée}) + 2I_{CM}(\text{disque})$$

- Objet : haltère
- Forces : poids  $mg$ , soutien  $\mathbf{S}$ , frottement  $\mathbf{f}$ , tension  $\mathbf{T}$
- Newton :

$$mg + S + f + T = m a_{CM} \quad (6.61)$$

Remarque :

## 6.5.6 Haltère tiré par un fil



- L'haltère est formé d'une poignée, d'un cylindre de rayon  $r$ , et de deux disques de rayon  $R$  (où  $R \gg r$ ). Son moment d'inertie est la somme des moments d'inertie.

$$I_{CM} = I_{CM}(\text{poignée}) + 2I_{CM}(\text{disque})$$

- Objet : haltère
- Forces : poids  $mg$ , soutien  $\mathbf{S}$ , frottement  $\mathbf{f}$ , tension  $\mathbf{T}$
- Newton :

$$mg + \mathbf{S} + \mathbf{f} + \mathbf{T} = m\mathbf{a}_{CM} \quad (6.61)$$

**Remarque :**

On ne peut pas a priori donner le sens du frottement  $\mathbf{f}$  qui est horizontal  $\mathbf{f} = f\mathbf{e}_x$  où  $f \in \mathbb{R}$

Selon  $\mathbf{e}_x$  :  $f + T\cos\alpha = ma_{CM}$  (6.62)

Selon  $\mathbf{e}_y$  :  $mg - S - T\sin\alpha = 0$  (6.63)

## *6.5.6 Haltère tiré par un fil*

---

## 6.5.6 Haltère tiré par un fil

---

- Rotation (par rapport au centre de masse) :  $\mathbf{M}_{CM}^{ext} = \mathbf{M}_{CM}(\mathbf{f}) + \mathbf{M}_{CM}(\mathbf{T}) = I_{CM} \dot{\omega}_{CM}$

Selon  $\mathbf{e}_z$  :  $-Rf - rT = I_{CM} \dot{\omega}_{CM}$  (6.64)

## 6.5.6 Haltère tiré par un fil

---

- Rotation (par rapport au centre de masse) :  $\mathbf{M}_{CM}^{ext} = \mathbf{M}_{CM}(\mathbf{f}) + \mathbf{M}_{CM}(\mathbf{T}) = I_{CM} \dot{\omega}_{CM}$

Selon  $\mathbf{e}_z$  :  $-Rf - rT = I_{CM} \dot{\omega}_{CM}$  (6.64)

- Liaison (l'haltère roule sans glisser : vitesse du point de contact nulle) :

$$v_{CM} = R\omega_{CM} \Rightarrow a_{CM} = R\dot{\omega}_{CM}$$

## 6.5.6 Haltère tiré par un fil

- Rotation (par rapport au centre de masse) :  $\mathbf{M}_{CM}^{ext} = \mathbf{M}_{CM}(f) + \mathbf{M}_{CM}(T) = I_{CM} \dot{\omega}_{CM}$

Selon  $\mathbf{e}_z$  :  $-Rf - rT = I_{CM} \dot{\omega}_{CM}$  (6.64)

- Liaison (l'haltère roule sans glisser : vitesse du point de contact nulle) :

$$v_{CM} = R\omega_{CM} \Rightarrow a_{CM} = R\dot{\omega}_{CM}$$

- Résolution : Soit  $\omega \equiv \omega_{CM}$  et  $a \equiv a_{CM} = R\dot{\omega}$

$$\left. \begin{array}{l} f + T\cos\alpha = mR\dot{\omega} \\ -Rf - rT = I_{CM}\dot{\omega} \end{array} \right\} \Rightarrow (R\cos\alpha - r)T = (mR^2 + I_{CM})\dot{\omega} \Rightarrow \dot{\omega} = \frac{R\cos\alpha - r}{mR^2 + I_{CM}}T \text{ et } a = R\dot{\omega} = \frac{\cos\alpha - \frac{r}{R}}{m + \frac{I_{CM}}{R^2}}T \quad (6.65)$$

## 6.5.6 Haltère tiré par un fil

- Rotation (par rapport au centre de masse) :  $\mathbf{M}_{CM}^{ext} = \mathbf{M}_{CM}(f) + \mathbf{M}_{CM}(T) = I_{CM} \dot{\omega}_{CM}$

Selon  $\mathbf{e}_z$  :  $-Rf - rT = I_{CM} \dot{\omega}_{CM}$  (6.64)

- Liaison (l'haltère roule sans glisser : vitesse du point de contact nulle) :

$$v_{CM} = R\omega_{CM} \Rightarrow a_{CM} = R\dot{\omega}_{CM}$$

- Résolution : Soit  $\omega \equiv \omega_{CM}$  et  $a \equiv a_{CM} = R\dot{\omega}$

$$\left. \begin{array}{l} f + T\cos\alpha = mR\dot{\omega} \\ -Rf - rT = I_{CM}\dot{\omega} \end{array} \right\} \Rightarrow (R\cos\alpha - r)T = (mR^2 + I_{CM})\dot{\omega} \Rightarrow \dot{\omega} = \frac{R\cos\alpha - r}{mR^2 + I_{CM}}T \text{ et } a = R\dot{\omega} = \frac{\cos\alpha - \frac{r}{R}}{m + \frac{I_{CM}}{R^2}}T \quad (6.65)$$

- Discussion :

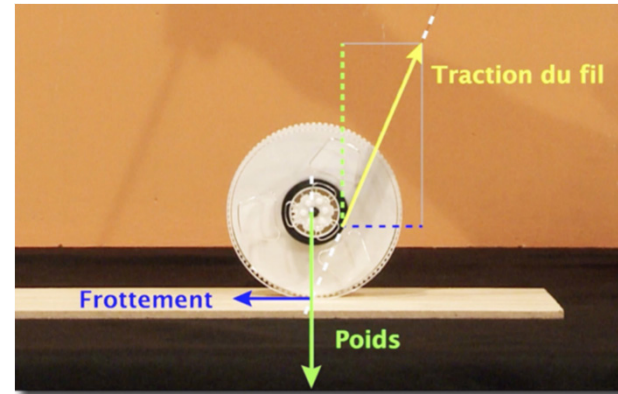
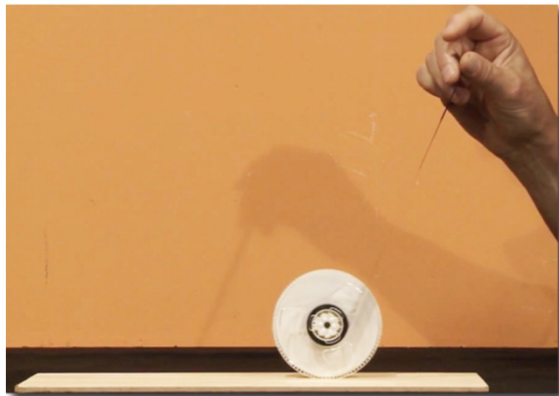
- Si  $\cos\alpha > \frac{r}{R}$ , l'haltère accélère vers la droite ( $a > 0$ ).

- Si  $\cos\alpha < \frac{r}{R}$ , l'haltère accélère vers la gauche ( $a < 0$ ).

- Si  $\cos\alpha = \frac{r}{R}$ , l'haltère est immobile ( $a = 0$ ).

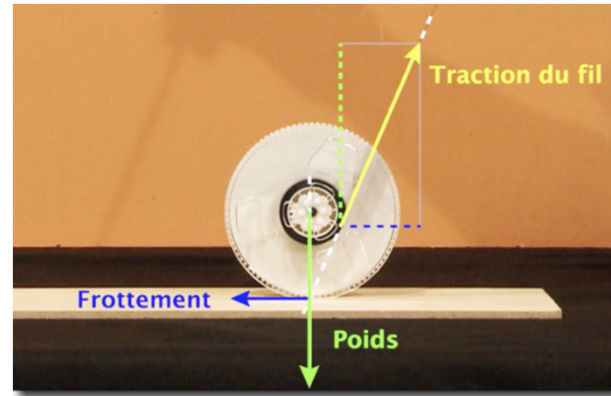
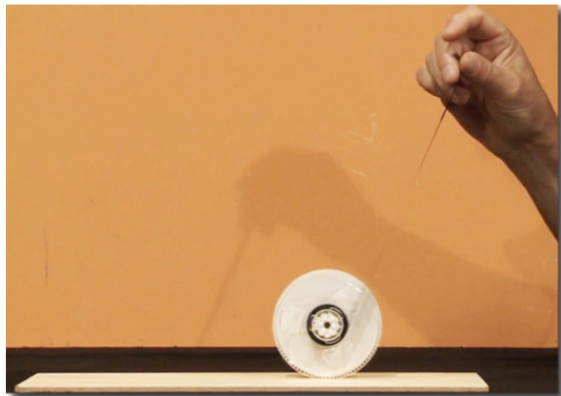
## 6.5.6 Haltère tiré par un fil

Expérience :



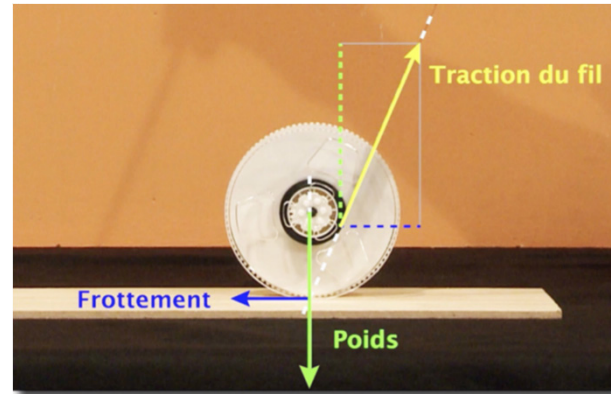
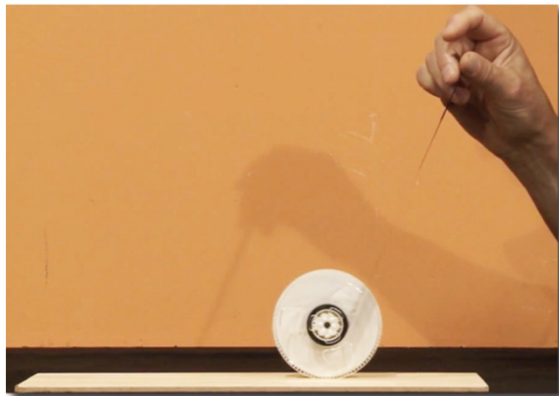
## 6.5.6 Haltère tiré par un fil

Expérience : Roulement d'une bobine tirée par un fil



## 6.5.6 Haltère tiré par un fil

Expérience : Roulement d'une bobine tirée par un fil



- Si l'angle  $\alpha$  entre le fil de la bobine et la verticale est tel que  $\alpha < \arccos(r/R)$ , la bobine se déplace vers la droite.
- Si  $\alpha > \arccos(r/R)$ , la bobine se déplace vers la gauche.
- Si  $\alpha = \arccos(r/R)$ , la bobine tourne sur place. Cet angle est tel que le fil se trouve dans le prolongement du point de contact entre la bobine et la surface horizontale.

---

## 6.6 Théorème de l'énergie cinétique d'un solide

## *6.6.1 Théorème de l'énergie cinétique du centre de masse*

---

## 6.6.1 Théorème de l'énergie cinétique du centre de masse

---

- Le théorème de l'énergie cinétique associée au mouvement du centre de masse d'un corps d'une position initiale  $\mathbf{r}_1$  à une position finale  $\mathbf{r}_2$  s'écrit :

$$E_{\text{cin,CM}}(2) - E_{\text{cin,CM}}(1) = W_{1 \rightarrow 2} \quad (6.66)$$

où  $E_{\text{cin,CM}} = \frac{1}{2}mv_{\text{CM}}^2$  et  $W_{1 \rightarrow 2} = \int_1^2 \mathbf{F}^{\text{ext}} \cdot d\mathbf{r}_{\text{CM}}$

avec  $\mathbf{F}^{\text{ext}}$  la résultante des forces extérieures.

## 6.6.1 Théorème de l'énergie cinétique du centre de masse

- Le théorème de l'énergie cinétique associée au mouvement du centre de masse d'un corps d'une position initiale  $\mathbf{r}_1$  à une position finale  $\mathbf{r}_2$  s'écrit :

$$E_{\text{cin,CM}}(2) - E_{\text{cin,CM}}(1) = W_{1 \rightarrow 2} \quad (6.66)$$

où  $E_{\text{cin,CM}} = \frac{1}{2}mv_{\text{CM}}^2$  et  $W_{1 \rightarrow 2} = \int_1^2 \mathbf{F}^{\text{ext}} \cdot d\mathbf{r}_{\text{CM}}$

avec  $\mathbf{F}^{\text{ext}}$  la résultante des forces extérieures.

- La dérivée temporelle de l'énergie cinétique du centre de masse s'écrit :

$$\dot{E}_{\text{cin,CM}} = \mathbf{F}^{\text{ext}} \cdot \mathbf{v}_{\text{CM}} \quad (6.67)$$

## *6.6.2 Théorème de l'énergie cinétique d'un corps*

---

## 6.6.2 Théorème de l'énergie cinétique d'un corps

---

- Un corps est un ensemble de points matériels.
- L'énergie cinétique du corps s'écrit :

$$E_{\text{cin}} = \sum_i \frac{1}{2} m_i v_i^2 \quad (6.68)$$

## 6.6.2 Théorème de l'énergie cinétique d'un corps

---

- Un corps est un ensemble de points matériels.
- L'énergie cinétique du corps s'écrit :

$$E_{\text{cin}} = \sum_i \frac{1}{2} m_i v_i^2 \quad (6.68)$$

- La variation d'énergie cinétique est due au travail des forces qui s'exercent sur chaque point matériel.

$$\dot{E}_{\text{cin}} = \sum_i \mathbf{F}_i \cdot \mathbf{v}_i = \sum_i \mathbf{F}_i^{\text{ext}} \cdot \mathbf{v}_i + \sum_i \mathbf{F}_i^{\text{int}} \cdot \mathbf{v}_i \quad (6.69)$$

Ainsi,  $dE_{\text{cin}} = \sum_i \mathbf{F}_i^{\text{ext}} \cdot d\mathbf{r}_i + \sum_i \mathbf{F}_i^{\text{int}} \cdot d\mathbf{r}_i = \delta W^{\text{ext}} + \delta W^{\text{int}} \quad (6.70)$

## 6.6.2 Théorème de l'énergie cinétique d'un corps

- Un corps est un ensemble de points matériels.
- L'énergie cinétique du corps s'écrit :

$$E_{\text{cin}} = \sum_i \frac{1}{2} m_i v_i^2 \quad (6.68)$$

- La variation d'énergie cinétique est due au travail des forces qui s'exercent sur chaque point matériel.

$$\dot{E}_{\text{cin}} = \sum_i \mathbf{F}_i \cdot \mathbf{v}_i = \sum_i \mathbf{F}_i^{\text{ext}} \cdot \mathbf{v}_i + \sum_i \mathbf{F}_i^{\text{int}} \cdot \mathbf{v}_i \quad (6.69)$$

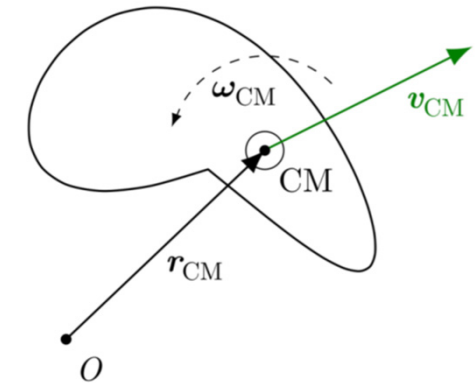
Ainsi,  $dE_{\text{cin}} = \sum_i \mathbf{F}_i^{\text{ext}} \cdot d\mathbf{r}_i + \sum_i \mathbf{F}_i^{\text{int}} \cdot d\mathbf{r}_i = \delta W^{\text{ext}} + \delta W^{\text{int}} \quad (6.70)$

- La variation d'énergie cinétique (totale) du corps est donnée par le travail des forces intérieures et extérieures.

$$E_{\text{cin}}(2) - E_{\text{cin}}(1) = W_{1 \rightarrow 2}^{\text{ext}} + W_{1 \rightarrow 2}^{\text{int}} \quad (6.71)$$

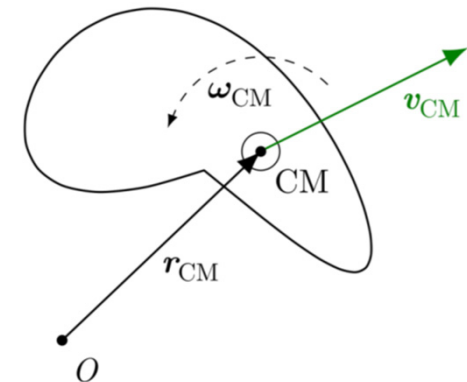
### 6.6.3 Énergie cinétique d'un solide indéformable

---



### 6.6.3 Énergie cinétique d'un solide indéformable

- Le mouvement d'un solide indéformable est caractérisé par la vitesse  $v_{CM}$  du CM et la vitesse angulaire de rotation autour du centre de masse  $\omega_{CM}$ .



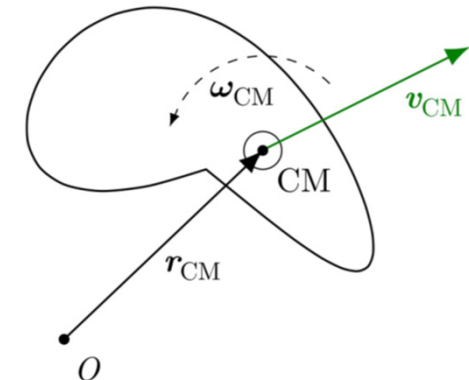
### 6.6.3 Énergie cinétique d'un solide indéformable

- Le mouvement d'un solide indéformable est caractérisé par la vitesse  $v_{CM}$  du CM et la vitesse angulaire de rotation autour du centre de masse  $\omega_{CM}$ .

- La vitesse d'un point matériel du solide s'écrit :

$$v_i = v_{CM} + v'_i = v_{CM} + \omega_{CM} \times r'_i \text{ où } v'_i = \omega_{CM} \times r'_i$$

car le point matériel de masse  $m_i$  a un mouvement circulaire autour du centre de masse.



### 6.6.3 Énergie cinétique d'un solide indéformable

- Le mouvement d'un solide indéformable est caractérisé par la vitesse  $\mathbf{v}_{CM}$  du CM et la vitesse angulaire de rotation autour du centre de masse  $\omega_{CM}$ .

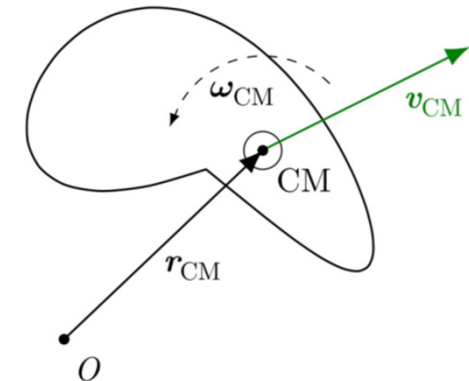
- La vitesse d'un point matériel du solide s'écrit :

$$\mathbf{v}_i = \mathbf{v}_{CM} + \mathbf{v}'_i = \mathbf{v}_{CM} + \omega_{CM} \times \mathbf{r}'_i \text{ où } \mathbf{v}'_i = \omega_{CM} \times \mathbf{r}'_i$$

car le point matériel de masse  $m_i$  a un mouvement circulaire autour du centre de masse.

- Son énergie cinétique s'écrit :

$$E_{cin} = \sum_i \frac{1}{2} m_i v_i^2 = \frac{1}{2} \sum_i m_i (\mathbf{v}_{CM} + \omega_{CM} \times \mathbf{r}'_i)^2$$



### *6.6.3 Énergie cinétique d'un solide indéformable*

---

### 6.6.3 Énergie cinétique d'un solide indéformable

---

$$\begin{aligned} \text{Ainsi, } E_{\text{cin}} &= \frac{1}{2} \sum_i m_i \left( v_{\text{CM}}^2 + 2 \mathbf{v}_{\text{CM}} \cdot (\boldsymbol{\omega}_{\text{CM}} \times \mathbf{r}_i) + \omega_{\text{CM}}^2 r_i'^2 \right) \\ &= \frac{1}{2} m v_{\text{CM}}^2 + \mathbf{v}_{\text{CM}} \cdot \left( \boldsymbol{\omega}_{\text{CM}} \times \underbrace{m \mathbf{r}_{\text{CM}}}_{=0} \right) + \frac{1}{2} \left( \underbrace{\sum_i m_i r_i'^2}_{=I_{\text{CM}}} \right) \omega_{\text{CM}}^2 \\ &= \frac{1}{2} m v_{\text{CM}}^2 + \frac{1}{2} I_{\text{CM}} \omega_{\text{CM}}^2 \end{aligned}$$

### 6.6.3 Énergie cinétique d'un solide indéformable

$$\begin{aligned} \text{Ainsi, } E_{\text{cin}} &= \frac{1}{2} \sum_i m_i \left( v_{\text{CM}}^2 + 2\mathbf{v}_{\text{CM}} \cdot (\boldsymbol{\omega}_{\text{CM}} \times \mathbf{r}_i) + \omega_{\text{CM}}^2 r_i'^2 \right) \\ &= \frac{1}{2} m v_{\text{CM}}^2 + \mathbf{v}_{\text{CM}} \cdot \left( \boldsymbol{\omega}_{\text{CM}} \times \underbrace{m \mathbf{r}_{\text{CM}}}_{=0} \right) + \frac{1}{2} \left( \underbrace{\sum_i m_i r_i'^2}_{=I_{\text{CM}}} \right) \omega_{\text{CM}}^2 \\ &= \frac{1}{2} m v_{\text{CM}}^2 + \frac{1}{2} I_{\text{CM}} \omega_{\text{CM}}^2 \end{aligned}$$

- L'énergie cinétique est la somme de l'énergie cinétique du centre de masse  $E_{\text{cin,CM}}$  et de l'énergie cinétique de rotation propre  $E_{\text{cin,rot}}$  du solide autour du centre de masse :

$$E_{\text{cin}} = E_{\text{cin,CM}} + E_{\text{cin,rot}} \quad (6.72)$$

où  $E_{\text{cin,CM}} = \frac{1}{2} m v_{\text{CM}}^2 \quad (6.73)$  et  $E_{\text{cin,rot}} = \frac{1}{2} I_{\text{CM}} \omega_{\text{CM}}^2 \quad (6.74)$